

## بررسی اثرات ناشی از ممان ژيروسکوپی بر روی دینامیک و ارتعاشات یک جفت چرخ‌دندهٔ دومارپیچ سرعت بالا\*

محمد کریمی خوزانی<sup>(۱)</sup>    مهرداد پورسینا<sup>(۲)</sup>    علی پورکمالی انارکی<sup>(۳)</sup>

**چکیده** در این تحقیق بالارائه یک مدل جرم گسسته خطی مستقل از زمان در فضای سه‌بعدی برای یک جفت چرخ‌دندهٔ دومارپیچ به بررسی اثرات ناشی از ممان ژيروسکوپی بر روی دینامیک و ارتعاشات این سیستم پرداخته می‌شود. در این مدل، هر چرخ‌دنده دارای شش درجه آزادی است و علاوه بر سفتی درگیری، سفتی ناشی از اثرات یاتاقان‌ها نیز در نظر گرفته می‌شود. پاسخ دینامیکی سیستم نسبت به تحریک ناشی از خطای انتقال با استفاده از روش جمع مودال استخراج می‌گردد. نتایج این پژوهش نشان می‌دهد که ممان ژيروسکوپی باعث کاهش اکثر فرکانس‌های طبیعی سیستم می‌شود. علاوه بر این، نتایج این تحقیق نشان می‌دهد که ممان ژيروسکوپی نقش بسیار مهمی بر روی پاسخ دینامیکی یک جفت چرخ‌دندهٔ دومارپیچ در سرعت‌های بالا دارد. به منظور صحت‌سنجی معادلات و روش حل، پاسخ دینامیکی استخراج‌شده با نتایج تجربی حاصل از پژوهش‌های دیگر مقایسه می‌گردد.

**واژه‌های کلیدی** چرخ‌دندهٔ دومارپیچ؛ ممان ژيروسکوپی؛ سرعت بالا؛ مدل دینامیکی؛ ارتعاشات.

## Effects of Gyroscopic Moment on the Dynamics and Vibrations of a High- Speed Double- Helical Gear Pair

M. Karimi Khoozani    M. Poursina    A. Pourkamali Anaraki

**Abstract** In this research a linear time- invariant lumped mass model, LTI, in three-dimensional space for a double- helical gear pair is developed and effects of gyroscopic moment on the dynamics and vibrations are studied. In this model, each member has six degrees of freedom and both of the mesh stiffness and bearing stiffness are undertaken. The dynamic response due to transmission errors excitations is calculated by using the modal summation technique. The results of this research show that by taking the gyroscopic effects in double- helical gear pair, most of the natural frequencies are reduced. In addition, the gyroscopic moment have an important role on the dynamic response of high- speed double- helical gear pairs. In order to verify the equations and solution methodology, the obtained dynamic response from a pair of double- helical gear pair is compared with the empirical results of other researches.

**Key Words** Double- helical gear; Gyroscopic moment; High- speed; Dynamic model; Vibration.

\*تاریخ دریافت مقاله ۹۵/۱/۱۸ و تاریخ پذیرش آن ۹۶/۱/۱۴ می‌باشد. DOI: 10.22067/fum-mech.v29i1.54911

(۱) دانشجوی دکتری، مهندسی مکانیک، دانشگاه تربیت دبیر شهید رجایی، تهران.

(۲) نویسندهٔ مسئول: دانشیار، مهندسی مکانیک، دانشگاه اصفهان. Poursina@eng.ui.ac.ir

(۳) دانشیار، مهندسی مکانیک، دانشگاه تربیت دبیر شهید رجایی، تهران.

## مقدمه

چرخ‌دنده‌ها، از پرمصرف‌ترین قطعات در سیستم‌های انتقال قدرت و حرکت هستند. چرخ‌دنده‌ها برحسب موقعیت مکانی محورها نسبت به یکدیگر در شکل‌های گوناگونی طراحی و ساخته می‌شوند و حرکت چرخشی یک محور را به محور دیگر از طریق اتصال دندانه‌ها منتقل می‌کنند. چرخ‌دنده‌های ساده دارای دامنه ارتعاشاتی بزرگ‌تری نسبت به چرخ‌دنده‌های مارپیچ هستند و رفتار غیرخطی شدیدتری دارند [1-6]. چرخ‌دنده‌های مارپیچ نیز علی‌رغم کوچک‌تر بودن دامنه ارتعاشاتی نسبت به چرخ‌دنده‌های ساده، مشکل ایجاد نیروی محوری را که در اثر زاویه مارپیچ حاصل می‌شود، دارند. از این رو بر روی محور یک جفت چرخ‌دنده مارپیچ، بایستی از یاتاقان‌هایی برای مهار این نیروی محوری استفاده شود. علاوه بر این بدنه چرخ‌دنده‌ها و محورهای نگهدارنده بایستی به قدری مستحکم باشند تا بتوانند در مقابل این نیروی محوری مقاومت کنند [7-12]. در این بین، چرخ‌دنده‌های دومارپیچ که بیشتر در توربوفاها، هلی‌کوپترها و دیگر وسایل استفاده می‌شوند، مشکل ایجاد نیروی محوری را که در چرخ‌دنده‌های مارپیچی موجود می‌باشد، ندارند و نیروی محوری سمت چپ و راست این چرخ‌دنده‌ها همدیگر را خنثی می‌کنند. به علاوه چرخ‌دنده‌های دومارپیچ امکان انتقال بار بیشتری را نسبت به چرخ‌دنده‌های ساده و مارپیچ دارند. بنابراین استفاده از چرخ‌دنده‌های دومارپیچ با وجود هزینه‌های ساخت و همچنین سختی‌های تولید در حال افزایش است [13, 14].

منابع موجود در زمینه دینامیک چرخ‌دنده‌های دومارپیچ بسیار محدود می‌باشد که در ادامه به معرفی آنها پرداخته می‌شود. در بین منابع موجود، گروهی از آنها بر روی مشخصه‌های توزیع بار شبه‌استاتیک بر روی سطوح تماس در یک جفت چرخ‌دنده دومارپیچ

متمرکز است [15, 16]. از جمله نتایج این تحقیق‌ها استخراج یک مدل نیمه‌تحلیلی است که نشان می‌دهد بار انتقالی توسط دو نیمه یک چرخ‌دنده دومارپیچ به دقت ساخت دندانه‌ها و همچنین زاویه بین دندانه‌های سمت چپ و راست حساس می‌باشند.

از میان پژوهش‌های بسیار محدود انجام‌شده در زمینه دینامیک چرخ‌دنده‌های دومارپیچ، ژنگ [17] با توسعه یک مدل المان محدود در فضای سه‌بعدی، به بهینه‌سازی صدای منتشرشده از یک جعبه‌دنده دومارپیچ با محورهای موازی پرداخت. البته او در این تحقیق به بررسی تأثیر ضخامت پوسته جعبه‌دنده بر روی میزان کاهش صدای منتشرشده از آن پرداخته بود. ونگ و های تایو [18] نیز در تحقیقی بر روی بهینه‌سازی پروفیل دندانه‌های یک جفت چرخ‌دنده دومارپیچ برای کاهش دادن خطای انتقال و متناسب با آن صدای منتشرشده از جعبه‌دنده تمرکز کرده بود.

کارهای تجربی انجام‌شده در زمینه دینامیک چرخ‌دنده‌های دومارپیچ بسیار محدود می‌باشد. در همین راستا، کنگ و کهرمان [13] در پژوهش خود رفتار دینامیکی یک جفت چرخ‌دنده دومارپیچ را به صورت تحلیلی و تجربی مورد بررسی قرار دادند. آنها در روش تحلیلی خود با ارائه یک مدل جرم گسسته مستقل از زمان در فضای سه‌بعدی بدون در نظر گرفتن اثرات ژيروسکوپی پاسخ دینامیکی یک جفت چرخ‌دنده دومارپیچ را به تحریک ناشی از خطای انتقال با نتایج تجربی مقایسه کردند و مدل خود را مورد ارزیابی قرار دادند.

برخی از تحقیق‌ها در زمینه دینامیک چرخ‌دنده‌های دومارپیچ، در مورد سیستم‌های سیاره‌ای صورت گرفته است که در این قسمت به برخی از آنها نیز اشاره می‌شود. مدل جرم‌های گسسته یک سیستم سیاره‌ای دومارپیچ با بازوی ثابت توسط پرشند و کهرمان [14] استخراج شد. آنها در این تحقیق یک مدل دینامیکی خطی مستقل از زمان را برای یک مجموعه چرخ‌دنده

### مدل دینامیکی

برای استخراج مدل در فضای سه بعدی، برای هر عضو شش درجه آزادی که شامل سه درجه آزادی انتقالی و سه درجه آزادی دورانی، می باشد، در نظر گرفته می شود. همچنین از فرضیه های زیر استفاده می گردد:

- (۱) بدنه تمامی چرخ دنده های درگیر به صورت جسم صلب فرض می شوند.
  - (۲) انعطاف پذیری درگیری چرخ دنده ها توسط فنرهای خطی مدل می شوند که بر روی صفحه عمل عمود بر سطح دندانه های چرخ دنده اثر می کنند (با شیبی برابر با زاویه مارپیچ  $\beta$ ).
  - (۳) از متغیر با زمان بودن سفتی درگیری به واسطه تغییر در تعداد جفت دندانه های درگیر صرف نظر می شود [21, 22].
  - (۴) فرض می شود دندانه های چرخ دنده در ناحیه درگیری همیشه با یکدیگر تماس دارند و هیچ گونه جدایشی رخ نمی دهد.
  - (۵) نیروی اصطکاکی که به واسطه لغزش دندانه ها بر روی یکدیگر به وجود می آید ناچیز فرض می شود [۲۳].
  - (۶) سمت چپ و راست چرخ دنده های دو مارپیچ به جز جهت دندانه ها که عکس یکدیگر می باشند، یکسان فرض می شود. زاویه بین دندانه ها در تمام طول چرخ دنده یکسان فرض می شود و از خطاهای ساخت که ممکن است در این زمینه رخ بدهد صرف نظر شده است.
  - (۷) در استخراج معادلات از میرایی سیستم صرف نظر می شود.
- معادلات اساسی نیرو و گشتاور در فضای سه بعدی برای استخراج معادلات جفت چرخ دنده درگیر به صورت زیر خواهند بود:

$$\sum F_y = ma_y \quad (1)$$

سیاره ای دو مارپیچ ارائه کردند. رابطه های ارائه شده در این مقاله به گونه ای است که اجازه تحلیل یک مجموعه چرخ دنده سیاره ای را با هر تعداد سیاره، هر تنظیم فاصله و هرگونه شرایط تکیه گاهی می دهد.

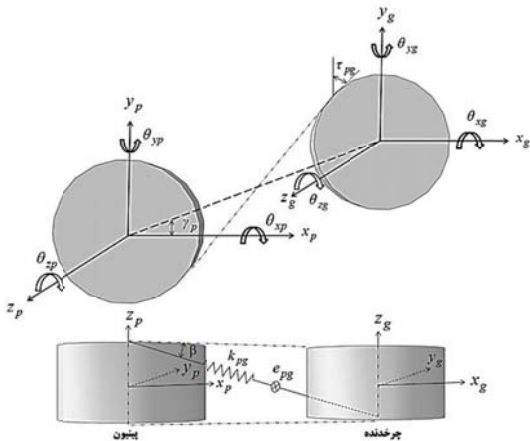
ونگ و همکاران [9] در پژوهش خود به تحلیل ضرایب توزیع بار دینامیکی در یک مجموعه چرخ دنده سیاره ای دو مارپیچ پرداختند. مدل استفاده شده در این تحقیق یک مدل جرم گسسته پیچشی خالص می باشد. در واقع در این مقاله بار دینامیکی بین دندانه های درگیر با حل معادله حرکت با استفاده از روش رانگ کوتای مرتبه ۴ به دست آمده است.

شنگ [20] به تحلیل مودال یک سیستم چرخ دنده ای سیاره ای دو مارپیچ با بازوی ثابت با استفاده از مدل جرم های گسسته پرداخت. در مدل ارائه شده در این تحقیق برای هر یک از اجزای سیستم سه درجه آزادی انتقالی و یک درجه آزادی پیچشی در نظر گرفته شده بود.

با بررسی منابع و مراجع موجود در زمینه دینامیک چرخ دنده های دو مارپیچ، مشاهده می شود که جامع ترین مدل دینامیکی ارائه شده در مورد یک جفت چرخ دنده دو مارپیچ، مدل موجود در مرجع [13] می باشد. البته در این مرجع معادله ها برای حالتی استخراج شده است که اثرات ناشی از ممان ژيروسکوپي که در سرعت های بالا اهمیت دارد، در نظر گرفته نشده است. از این رو در تحقیق حاضر با ارائه یک مدل جرم گسسته خطی مستقل از زمان در فضای سه بعدی برای یک جفت چرخ دنده دو مارپیچ به بررسی اثرات ناشی از ممان ژيروسکوپي بر روی دینامیک و ارتعاشات این سیستم پرداخته می شود. به همین منظور این مدل در دو سطح مورد بررسی قرار می گیرد. در سطح اول از اثرات ژيروسکوپي صرف نظر می گردد و در سطح دوم، اثرات ناشی از ممان ژيروسکوپي در نظر گرفته می شود. در این مدل ها علاوه بر سفتی درگیری، سفتی ناشی از اثرات یاتاقان ها نیز در نظر گرفته می شود.

$$\mathbf{M}_\zeta = \dot{\mathbf{H}}_\zeta + \boldsymbol{\omega}_\zeta \times \mathbf{H}_\zeta \Rightarrow \mathbf{M}_\zeta = J_\zeta \Omega_\zeta \dot{\theta}_{y\zeta} \mathbf{i} - J_\zeta \Omega_\zeta \dot{\theta}_{x\zeta} \mathbf{j} \quad (\zeta = Pinion, Gear) \quad (9)$$

حال با قرار دادن روابط (۹-۷) در معادلات (۶-۱) و بسط دادن آنها، معادلات دینامیکی برای یک سمت از جفت چرخ دنده درگیر دومارپیچ استخراج می‌گردد. شکل (۱) نشان‌دهنده یک سمت از جفت چرخ دنده دومارپیچ درگیر می‌باشد که نسبت به هم در موقعیت زاویه‌ای  $\gamma_p$  قرار گرفته‌اند.



شکل ۱ مدل دینامیکی یک سمت از جفت چرخ دنده دومارپیچ درگیر

همان‌طور که در این شکل نشان داده شده است، صفحه عمل بین دو چرخ دنده با محور  $y$  زاویه  $\tau_{pg}$  می‌سازد که می‌توان آن را از رابطه زیر محاسبه کرد [14]:

$$\tau_{pg} = \begin{cases} \Phi_{pg} - \gamma_p, T_p : CCW \\ -\Phi_{pg} - \gamma_p, T_p : CW \end{cases} \quad (10)$$

در رابطه بالا  $\Phi_{pg}$  زاویه فشار عرضی و  $T_p$  گشتاور خارجی اعمال شده بر چرخ دنده پینیون می‌باشد. معادلات حرکت برای جفت چرخ دنده درگیر در حالت بدون میرایی و با در نظر گرفتن اثرات

$$\sum F_x = ma_x \quad (2)$$

$$\sum F_z = ma_z \quad (3)$$

$$\sum M_y = I_y \ddot{\theta}_y \quad (4)$$

$$\sum M_x = I_x \ddot{\theta}_x \quad (5)$$

$$\sum M_z = J_z \ddot{\theta}_z \quad (6)$$

در روابط (۶-۱)،  $m$  جرم،  $F_x, F_y, F_z, M_x, M_y, M_z$  به ترتیب مؤلفه‌های نیرو، مؤلفه‌های گشتاور، مؤلفه‌های شتاب خطی ناشی از ارتعاشات خطی و مؤلفه‌های شتاب زاویه‌ای ناشی از ارتعاشات زاویه‌ای و مؤلفه‌های ممان اینرسی در جهات  $x, y$  و  $z$  می‌باشند.

اثرات ناشی از همان ژيروسکوپیک نیز بایستی توسط روابط زیر در معادلات مربوط به یک جفت چرخ دنده دومارپیچ درگیر وارد شوند. تکانه زاویه‌ای یک جسم دوار  $(\zeta = Pinion, Gear)$  که با سرعت زاویه‌ای ثابت  $\Omega_\zeta \mathbf{k}$  حول محور  $z$  در حال چرخش می‌باشد، بدون در نظر گرفتن حرکات انحرافی (یعنی چرخش فقط در صفحه دوران باشد) برابر است با:

$$\mathbf{H}_\zeta = J_\zeta \Omega_\zeta \mathbf{k} \quad (\zeta = Pinion, Gear) \quad (7)$$

بردار سرعت زاویه‌ای برای یک جسم مشابه را به واسطه حرکات دورانی و انحرافی می‌توان مطابق رابطه زیر به دست آورد:

$$\boldsymbol{\omega}_\zeta = \dot{\theta}_{x\zeta} \mathbf{i} + \dot{\theta}_{y\zeta} \mathbf{j} + (\dot{\theta}_{z\zeta} + \Omega_\zeta) \mathbf{k} \quad (\zeta = Pinion, Gear) \quad (8)$$

در رابطه بالا  $\dot{\theta}_{x\zeta}, \dot{\theta}_{y\zeta}$  و  $\dot{\theta}_{z\zeta}$  به ترتیب سرعت‌های ارتعاشی در جهت محورهای  $x, y$  و  $z$  می‌باشند. براساس اصل پایستگی تکانه زاویه‌ای، نرخ تغییرات در تکانه زاویه‌ای به واسطه حرکات انحرافی منجر به ایجاد گشتاور  $\mathbf{M}_\zeta$  می‌شود که برابر است با:

زیرنویس  $g$  نشان دهنده چرخ دنده،  $\beta$  زاویه مارپیچ، شعاع مبنای چرخ دنده،  $k_{pg}$  سفتی درگیری میانگین بین جفت چرخ دنده درگیر،  $k_x, k_y, k_z$ ،  $k_{\theta_x}, k_{\theta_y}, k_{\theta_z}$  به ترتیب سفتی یاتاقان در جهات  $x, y, z, \theta_x, \theta_y, \theta_z$  و  $P_{pg}(t)$  جابه جایی نسبی بین دو چرخ دنده است که از رابطه زیر به دست می آید:

$$P_{pg}(t) = [(y_p - y_g) \cos \tau_{pg} + (x_p - x_g) \sin \tau_{pg} + (r_p \theta_{zp} + r_g \theta_{zg})] \cos \beta + [(r_p \theta_{yp} + r_g \theta_{yg}) \cos \tau_{pg} + (r_p \theta_{xp} + r_g \theta_{xg}) \sin \tau_{pg} + (-z_p + z_g)] \sin \beta - e_{pg}(t) \quad (23)$$

در رابطه (23)،  $e_{pg}(t)$  تحریک ناشی از خطای انتقال استاتیکی می باشد. بازنویسی معادلات (11-23) در فرم ماتریسی، رابطه زیر را نتیجه می دهد:

$$\begin{bmatrix} M_p & 0 \\ 0 & M_g \end{bmatrix} \begin{Bmatrix} \ddot{q}_p(t) \\ \ddot{q}_g(t) \end{Bmatrix} + \begin{bmatrix} G_p & 0 \\ 0 & G_g \end{bmatrix} \begin{Bmatrix} \dot{q}_p(t) \\ \dot{q}_g(t) \end{Bmatrix} + \left( \begin{bmatrix} k_{bp} & 0 \\ 0 & k_{bg} \end{bmatrix} + k_{pg} \begin{bmatrix} K_{pg}^{11} & K_{pg}^{12} \\ \text{sym.} & K_{pg}^{22} \end{bmatrix} \right) \begin{Bmatrix} q_p(t) \\ q_g(t) \end{Bmatrix} = \begin{Bmatrix} f_{pm} + f_p(t) \\ f_{gm} + f_g(t) \end{Bmatrix} \quad (24)$$

### ترکیب معادلات سمت چپ و راست

معادلاتی که در قسمت قبلی برای جفت چرخ دنده درگیر ارائه شدند، معادلات مربوط به یک سمت از چرخ دنده های درگیر می باشند. حال از آنجایی که سمت چپ و راست این چرخ دنده ها طبق فرضیه شماره شش، با یکدیگر مشابه اند، می توان معادلات استخراج شده برای یک طرف را به طرف مقابل نیز تعمیم داد. سپس بایستی معادلات دو طرف را با یکدیگر ترکیب کرد تا معادلات کلی سیستم به دست آید. به همین منظور، با استفاده از روش المان محدود و به کمک المان های تیر اوپلر مشابه با روشی که قبلاً اجمی و ولکس [24] در تحقیق خود انجام داده بودند،

ژيروسکوپی و همچنین اثرات سفتی ناشی از یاتاقان ها، و با استفاده از معادلات ارائه شده در مرجع [14] به دست خواهد آمد. معادلات حرکت برای پینون به صورت زیر می باشد:

$$m_p \ddot{y}_p(t) + k_{yp} y_p(t) + k_{pg} P_{pg}(t) \cos \beta \cos \tau_{pg} = 0 \quad (11)$$

$$m_p \ddot{x}_p(t) + k_{xp} x_p(t) + k_{pg} P_{pg}(t) \cos \beta \sin \tau_{pg} = 0 \quad (12)$$

$$m_p \ddot{z}_p(t) + k_{zp} z_p(t) - k_{pg} P_{pg}(t) \sin \beta = 0 \quad (13)$$

$$I_{yp} \ddot{\theta}_{yp}(t) + J_p \Omega_p \dot{\theta}_{xp}(t) + k_{\theta_{yp}} \theta_{yp}(t) + k_{pg} P_{pg}(t) r_p \sin \beta \cos \tau_{pg} = 0 \quad (14)$$

$$I_{xp} \ddot{\theta}_{xp}(t) - J_p \Omega_p \dot{\theta}_{yp}(t) + k_{\theta_{xp}} \theta_{xp}(t) + k_{pg} P_{pg}(t) r_p \sin \beta \sin \tau_{pg} = 0 \quad (15)$$

$$J_p \ddot{\theta}_{zp}(t) + k_{pg} P_{pg}(t) r_p \cos \beta = \frac{T_p}{2} \quad (16)$$

به طریق مشابه معادلات حرکت برای چرخ دنده به صورت زیر خواهد شد:

$$m_g \ddot{y}_g(t) + k_{yg} y_g(t) - k_{pg} P_{pg}(t) \cos \beta \cos \tau_{pg} = 0 \quad (17)$$

$$m_g \ddot{x}_g(t) + k_{xg} x_g(t) - k_{pg} P_{pg}(t) \cos \beta \sin \tau_{pg} = 0 \quad (18)$$

$$m_g \ddot{z}_g(t) + k_{zg} z_g(t) + k_{pg} P_{pg}(t) \sin \beta = 0 \quad (19)$$

$$I_{yg} \ddot{\theta}_{yg}(t) - J_g \Omega_g \dot{\theta}_{xg}(t) + k_{\theta_{yg}} \theta_{yg}(t) + k_{pg} P_{pg}(t) r_g \sin \beta \cos \tau_{pg} = 0 \quad (20)$$

$$I_{xg} \ddot{\theta}_{xg}(t) + J_g \Omega_g \dot{\theta}_{yg}(t) + k_{\theta_{xg}} \theta_{xg}(t) + k_{pg} P_{pg}(t) r_g \sin \beta \sin \tau_{pg} = 0 \quad (21)$$

$$J_g \ddot{\theta}_{zg}(t) + k_{pg} P_{pg}(t) r_g \cos \beta = \frac{T_g}{2} \quad (22)$$

در روابط بالا زیرنویس  $p$  نشان دهنده پینون،

$$q_{ge} = \begin{Bmatrix} (q_c)_L \\ (q_c)_M \\ (q_c)_R \end{Bmatrix} \quad (27)$$

در رابطه (۲۷) زیرنویس‌های  $L$ ،  $M$  و  $R$  به ترتیب نشان‌دهنده نقطه سمت چپ، نقطه میانی و نقطه سمت راست هر عضو می‌باشد.

### معادلات کلی سیستم

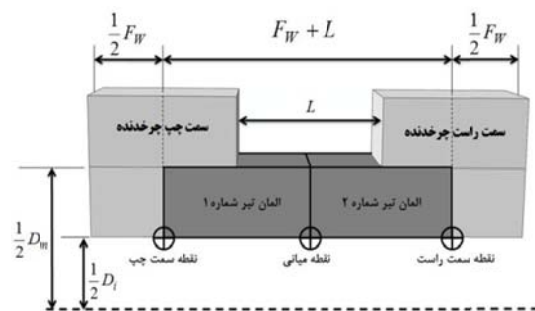
در این مرحله بایستی مجموعه معادلات رابطه (۲۴) را با استفاده از معادلات (۲۵ و ۲۶) برای سمت چپ و راست چرخ‌دنده‌های درگیر با یکدیگر ترکیب کرد تا معادلات کلی سیستم استخراج گردد. با انجام این کار مجموعه معادلات کلی سیستم با در نظر گرفتن ۳۶ درجه آزادی در قالب ماتریسی به فرم زیر درخواهد آمد:

$$M\ddot{q}(t) + G\dot{q}(t) + (K_m + K_b)q(t) = F(t) \quad (28)$$

در رابطه بالا،  $M$  ماتریس جرم،  $G$  ماتریس ژيروسکوپی،  $K_m$  ماتریس سفتی درگیری،  $K_b$  ماتریس سفتی ناشی از یاتاقان‌ها،  $F(t)$  بردار تحریک ناشی از گشتاورهای خارجی و تحریک ناشی از خطای انتقال استاتیکی و  $q(t)$  بردار جابه‌جایی می‌باشند و از روابط زیر محاسبه می‌گردند:

$$M = \begin{bmatrix} M_{pe1}^{11} + (M_p)_L & M_{pe1}^{12} & 0 \\ & M_{pe1}^{22} + M_{pe2}^{11} & M_{pe2}^{12} \\ & & M_{pe2}^{22} + (M_p)_R \\ 0 & 0 & 0 \\ 0 & 0 & 0 \\ 0 & 0 & 0 \\ M_{ge1}^{11} + (M_g)_L & M_{ge1}^{12} & 0 \\ & M_{ge1}^{22} + M_{ge2}^{11} & M_{ge2}^{12} \\ \text{Sym} & & M_{ge2}^{22} + (M_g)_R \end{bmatrix} \quad (29)$$

ماتریس ضرایب با یکدیگر ترکیب می‌شوند تا ماتریس‌های کلی سیستم استخراج گردد. همان‌طور که در شکل (۲) نشان داده شده است، یک چرخ‌دنده دوماریچ شامل سه قسمت اصلی می‌باشد: ۱- یک چرخ‌دنده ماریچ در سمت چپ با قطر داخلی  $D_i$ . ۲- یک چرخ‌دنده ماریچ در سمت راست با قطر داخلی  $D_i$ . ۳- قسمت رابط با قطر خارجی  $D_m$  که متصل‌کننده چرخ‌دنده‌های ماریچ سمت چپ و راست می‌باشد.



شکل ۲ مدل المان محدود یک چرخ‌دنده دوماریچ برای ترکیب معادلات سمت چپ و راست

در شکل (۲) تقسیم‌بندی چرخ‌دنده به سه قسمت به‌گونه‌ای صورت گرفته است که جرم و ممان اینرسی هر قسمت برابر با مجموع جرم و ممان اینرسی سمت چپ، سمت راست و قسمت رابط چرخ‌دنده دوماریچ می‌باشد. بدین ترتیب ماتریس‌های کلی جرم و سفتی برای المان‌های نشان داده شده در شکل (۲) از روابط زیر به‌دست می‌آیند:

$$K_{ge} = \begin{Bmatrix} K_{ge1}^{11} & K_{ge1}^{12} & 0 \\ & K_{ge1}^{22} + K_{ge2}^{11} & K_{ge2}^{12} \\ \text{Sym.} & & K_{ge2}^{22} \end{Bmatrix} \quad (25)$$

$$M_{ge} = \begin{Bmatrix} M_{ge1}^{11} & M_{ge1}^{12} & 0 \\ & M_{ge1}^{22} + M_{ge2}^{11} & M_{ge2}^{12} \\ \text{Sym.} & & M_{ge2}^{22} \end{Bmatrix} \quad (26)$$

در روابط (۲۵ و ۲۶)،  $\zeta = Pinion, Gear$  می‌باشد. بردار جابه‌جایی متناظر با ماتریس‌های جرم و سفتی ارائه شده در روابط بالا، به‌صورت زیر می‌باشد:

$$f_{pm} = \begin{Bmatrix} 0 \\ 0 \\ 0 \\ 0 \\ 0 \\ \frac{T_p}{2} \end{Bmatrix}, f_{gm} = \begin{Bmatrix} 0 \\ 0 \\ 0 \\ 0 \\ 0 \\ \frac{T_g}{2} \end{Bmatrix},$$

$$f_p(t) = k_{pg} e_{pg}(t) \begin{Bmatrix} \cos\beta \cos\tau_{pg} \\ \cos\beta \cos\tau_{pg} \\ \sin\beta \\ r_p \sin\beta \cos\tau_{pg} \\ r_p \sin\beta \sin\tau_{pg} \\ r_p \cos\beta \end{Bmatrix}, \quad (35)$$

$$f_g(t) = k_{pg} e_{pg}(t) \begin{Bmatrix} -\cos\beta \cos\tau_{pg} \\ -\cos\beta \sin\tau_{pg} \\ \sin\beta \\ r_g \sin\beta \cos\tau_{pg} \\ r_g \sin\beta \sin\tau_{pg} \\ r_g \cos\beta \end{Bmatrix}$$

$$G = \begin{bmatrix} G_{pe1}^{11} + (G_p)_L & G_{pe1}^{12} & 0 \\ & G_{pe1}^{22} + G_{pe2}^{11} & G_{pe2}^{12} \\ & & G_{pe2}^{22} + (G_p)_R \\ 0 & 0 & 0 \\ 0 & 0 & 0 \\ 0 & 0 & 0 \\ G_{ge1}^{11} + (G_g)_L & G_{ge1}^{12} & 0 \\ & G_{ge1}^{22} + G_{ge2}^{11} & G_{ge2}^{12} \\ SkewSym & & G_{ge2}^{22} + (G_g)_R \end{bmatrix} \quad (30)$$

$$K_m = \begin{bmatrix} K_{pe1}^{11} + (K_{pg}^{11})_L & K_{pe1}^{12} & 0 \\ & K_{pe1}^{22} + K_{pe2}^{11} & K_{pe2}^{12} \\ & & K_{pe2}^{22} + (K_{pg}^{11})_R \\ (K_{pg}^{12})_L & 0 & 0 \\ 0 & 0 & 0 \\ 0 & 0 & (K_{pg}^{12})_L \\ K_{ge1}^{11} + (K_{pg}^{11})_L & K_{ge1}^{12} & 0 \\ & K_{ge1}^{22} + K_{ge2}^{11} & K_{ge2}^{12} \\ Sym & & K_{ge2}^{22} + (K_{pg}^{11})_R \end{bmatrix} \quad (31)$$

در معادله (۳۵)، بردار نیروی  $f(t)$  شامل تحریک ناشی از خطای انتقال است که به عنوان بخشی از جابه جایی نسبی در معادله (۲۳) داده شده است. برای محاسبه تحریک ناشی از خطای انتقال، درگیری سمت چپ چرخ دنده های درگیر را به عنوان درگیری مرجع در نظر بگیرید. در این صورت تحریک ناشی از خطای انتقال در این درگیری در قالب سری فوریه به شکل زیر در خواهد آمد [14]:

$$K_b = \text{Diag}[0 \quad K_{bp} \quad 0 \quad 0 \quad K_{bg} \quad 0] \quad (32)$$

$$e_{pg}^{(L)}(t) = \sum_{l=1}^L \hat{e}_{pgl}^{(L)} \cos(lf_m t + \sigma_{pgl}^{(L)}) \quad (36)$$

$$K_{b\zeta} = \text{Diag}[K_{y\zeta} \quad K_{x\zeta} \quad K_{z\zeta} \quad K_{\theta y\zeta} \quad K_{\theta x\zeta} \quad K_{\theta z\zeta}] (\zeta = \text{Pinion, Gear}) \quad (33)$$

در رابطه (۳۶)،  $\hat{e}_{pgl}$  و  $\sigma_{pgl}$  به ترتیب اندازه بزرگی و زاویه فاز هارمونیک  $l$ ام این تحریک خواهند بود که با استفاده از نرم افزار LDP محاسبه می شوند [25].  $f_m$  فرکانس درگیری چرخ دنده ها است و بالانویس  $L$  نیز نشان دهنده سمت چپ چرخ دنده های درگیر می باشد.

$$q_\zeta(t) = \begin{Bmatrix} y_\zeta(t) \\ x_\zeta(t) \\ z_\zeta(t) \\ \theta_{y\zeta}(t) \\ \theta_{x\zeta}(t) \\ \theta_{z\zeta}(t) \end{Bmatrix} \quad (\zeta = \text{Pinion, Gear}) \quad (34)$$

با تعریف زاویه فاز متناوب  $(\gamma_{stg})$  بین سمت

می‌باشد، مقادیر ویژه  $\omega_\lambda$  و بردارهای ویژه نرمال  $Q_\lambda$  سیستم محاسبه می‌شوند. پاسخ سیستم به تحریک‌های ناشی از خطای انتقال را می‌توان با استفاده از روش جمع مودال به دست آورد. براین اساس اگر نیروی وارد بر سیستم به صورت زیر در نظر گرفته شود (هر نیرو در اثر تحریک ناشی از درگیری یک سمت چرخ‌دنده‌ها به وجود آمده است) [13]:

$$\mathbf{F}(t) = \mathbf{F}_L(t) + \mathbf{F}_R(t) = \tilde{\mathbf{F}}_L k_{pg} e_{pg}^{(L)}(t) + \tilde{\mathbf{F}}_R k_{pg} e_{pg}^{(R)}(t) \quad (39)$$

پاسخ سیستم به هر نیروی  $\mathbf{F}_L(t)$  و  $\mathbf{F}_R(t)$  از روش جمع مودال به صورت زیر به دست می‌آید [26]:

$$\mathbf{q}_L(t) = \tilde{\mathbf{F}}_L k_{pg} \sum_{l=1}^L \sum_{\lambda=1}^{N_{dof}} \Theta_{\lambda l}(jf_m) \hat{e}_{pgl}^{(L)} \cos(jf_m t + \sigma_{pgl}^{(L)}), \quad (j = \sqrt{-1}) \quad (40)$$

$$\mathbf{q}_R(t) = \tilde{\mathbf{F}}_R k_{pg} \sum_{l=1}^L \sum_{\lambda=1}^{N_{dof}} \Theta_{\lambda l}(jf_m) \hat{e}_{pgl}^{(R)} \cos(jf_m t + \sigma_{pgl}^{(R)} + l\gamma_{stg}), \quad (j = \sqrt{-1}) \quad (41)$$

در روابط بالا  $\tilde{\mathbf{F}}_R$  و  $\tilde{\mathbf{F}}_L$  به ترتیب اندازه بزرگی نیروی سمت چپ و راست و  $\Theta_{\lambda l}(jf_m)$  نیز از رابطه (۴۲) محاسبه می‌شود:

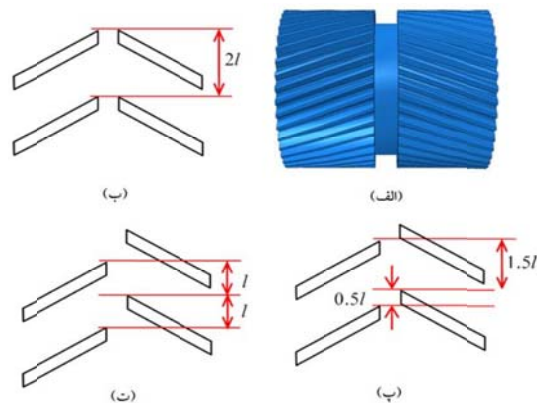
$$\Theta_{\lambda l}(jf_m) = \frac{\mathbf{Q}_\lambda \mathbf{Q}_\lambda^T}{(\omega_\lambda^2 - l^2 f_m^2)} \quad (42)$$

جابه‌جایی کلی نیز به دلیل خطی بودن سیستم، از جمع جابه‌جایی‌های حاصل شده از هر تحریک در حالت پایا به صورت زیر به دست می‌آید:

$$\mathbf{q}(t) = \mathbf{q}_L(t) + \mathbf{q}_R(t) \quad (43)$$

چپ و راست چرخ‌دنده‌های درگیر مطابق شکل (۳)، تحریک ناشی از خطای انتقال برای درگیری سمت راست چرخ‌دنده‌های درگیر به صورت زیر تعریف می‌شود:

$$e_{pg}^{(R)}(t) = \sum_{l=1}^L \hat{e}_{pgl}^{(R)} \cos(lf_m t + \sigma_{pgl}^{(R)} + l\gamma_{stg}) \quad (37)$$



شکل ۳ الف) نمای کلی یک چرخ‌دنده دو مارپیچ، (ب) زاویه فاز متناوب  $\gamma_{stg} = 0$ ، (پ) زاویه فاز متناوب  $\gamma_{stg} = \frac{\pi}{2}$ ، (ت) زاویه فاز متناوب  $\gamma_{stg} = \pi$

### روش حل معادلات

در این قسمت روش حل معادلات برای دو حالت زیر شرح داده می‌شود:

**حالت اول:** از اثرات ژيروسکوپی در معادلات صرف نظر شده است. در این حالت، ابتدا با قرار دادن  $F(t) = 0$  در معادله (۲۸) و با صرف نظر کردن از ماتریس  $G$  که ناشی از اثرات ژيروسکوپی می‌باشد، معادله کلی سیستم به صورت زیر درمی‌آید:

$$M\ddot{\mathbf{q}}(t) + (\mathbf{K}_m + \mathbf{K}_b)\mathbf{q}(t) = 0 \quad (38)$$

با حل مسأله مقدار ویژه متناظر با معادله (۳۸)، که به شکل  $\mathbf{K}\mathbf{Q} = \omega^2 \mathbf{M}\mathbf{Q}$ ، که در آن  $\mathbf{K} = \mathbf{K}_m + \mathbf{K}_b$



$$\omega_\lambda = |\text{imag}[\Lambda_\lambda(j\Omega)]| = |\text{imag}[\bar{\Lambda}_\lambda(j\Omega)]| \quad (49)$$

مقادیر ویژه و بردارهای ویژه در این سیستم وابسته به سرعت می باشد.

مشابه حالت قبلی، پاسخ سیستم به تحریک های ناشی از خطای انتقال را می توان با استفاده از روش جمع مودال به دست آورد. مجموع نیروهای وارد بر سیستم نیز با استفاده از رابطه (39) محاسبه می شود. پاسخ سیستم به هر نیروی  $\mathbf{F}_L(t)$  و  $\mathbf{F}_R(t)$  از روش جمع مودال به صورت زیر به دست می آید [26]:

$$\mathbf{r}_L(t) = \tilde{\mathbf{F}}_L k_{pg} \sum_{l=1}^L \sum_{\lambda=1}^{2N_{dof}} \hat{\Theta}_{\lambda l}(j f_m) \hat{e}_{pgl}^{(L)} \quad (50)$$

$$\cos(j f_m t + \sigma_{pgl}^{(L)}), \quad (j = \sqrt{-1})$$

$$\mathbf{r}_R(t) = \tilde{\mathbf{F}}_R k_{pg} \sum_{l=1}^L \sum_{\lambda=1}^{2N_{dof}} \hat{\Theta}_{\lambda l}(j f_m) \hat{e}_{pgl}^{(R)} \quad (51)$$

$$\cos(j f_m t + \sigma_{pgl}^{(R)} + l \gamma_{stg}), \quad (j = \sqrt{-1})$$

در روابط بالا،  $\hat{\Theta}_{\lambda l}(j f_m)$  از معادله زیر به دست می آید:

$$\hat{\Theta}_{\lambda l}(j f_m) = \frac{\mathbf{L}_\lambda^T \mathbf{B} \mathbf{R}_\lambda}{j f_m - \Lambda_\lambda} \quad (52)$$

جابه جایی کلی نیز به دلیل خطی بودن سیستم، از جمع جابه جایی های حاصل شده از هر تحریک در حالت پایا به صورت زیر به دست می آید:

$$\mathbf{r}(t) = \mathbf{r}_L(t) + \mathbf{r}_R(t) \quad (53)$$

**صحت سنجی معادلات و روش حل آنها.** در این بخش به منظور صحت سنجی، معادلات استخراج شده برای یک جفت چرخ دنده دومارپیچ حل می شوند و نتایج با نتایج تجربی داده شده در مرجع [13] مقایسه می گردند. اطلاعات اساسی مربوط به جفت چرخ دنده

**حالت دوم: اثرات ژيروسکوپیی نیز در معادلات در نظر گرفته شده است.** برای حل معادلات در این حالت، ابتدا بایستی معادله (28) را مطابق رابطه زیر در فضای حالت بیان کرد:

$$\dot{\mathbf{i}}(t) = \mathbf{A} \mathbf{i}(t) + \mathbf{B} \mathbf{F}(t) \quad (44)$$

در رابطه (44)،  $\mathbf{I}(t)$  بردار حالت و ماتریس های  $\mathbf{A}$  و  $\mathbf{B}$  به صورت زیر تعریف می شوند:

$$\mathbf{i}(t) = \begin{Bmatrix} \mathbf{q}(t) \\ \dot{\mathbf{q}}(t) \end{Bmatrix} \quad (45)$$

$$\mathbf{A} = \begin{bmatrix} \mathbf{0} & \mathbf{I} \\ -\mathbf{M}^{-1} \mathbf{K} & -\mathbf{M}^{-1} \mathbf{G} \end{bmatrix} \quad (46)$$

$$\mathbf{B} = \begin{bmatrix} \mathbf{0} \\ \mathbf{M}^{-1} \end{bmatrix} \quad (47)$$

در رابطه (46)، ماتریس  $\mathbf{I}$  ماتریس همانی با ابعادی برابر با تعداد درجه آزادی سیستم می باشد. حال با قرار دادن مقدار بردار  $\mathbf{F}(t) = \mathbf{0}$  در معادله (44)، مسئله مقدار ویژه سیستم مورد نظر به صورت زیر در می آید:

$$\mathbf{A} \mathbf{R} = \Lambda \mathbf{R} \quad \text{or} \quad \mathbf{L}^T \mathbf{A} = \Lambda \mathbf{L}^T \quad (48)$$

در رابطه (48)،  $\Lambda$  ماتریس مقادیر ویژه،  $\mathbf{R}$  و  $\mathbf{L}$  به ترتیب بردار ویژه های سمت راست و چپ می باشند. ماتریس های مودال  $\mathbf{R}$  و  $\mathbf{L}$  بر یکدیگر متعامدند به گونه ای که روابط  $\mathbf{L}^T \mathbf{R} = \mathbf{I}$  و  $\mathbf{L}^T \mathbf{A} \mathbf{R} = \Lambda$  بین آنها برقرار است. مقادیر ویژه در این گونه مسایل به صورت جفت های مزدوج مختلط می باشند. بنابراین  $\lambda$  امین مقدار ویژه  $\Lambda_\lambda(j\Omega)$  (یا  $\bar{\Lambda}_\lambda(j\Omega)$ ) که از معادله (48) حاصل می شود، مورد استفاده قرار می گیرد تا  $\lambda$  امین فرکانس طبیعی سیستم از رابطه (49) به دست آید:

معادلات مربوط به یک جفت چرخ دنده دوماپیچ درگیر با استفاده از روش جمع مودال حل می شوند. شکل (۴) مقایسه نتایج به دست آمده از حل معادلات را با نتایج ارائه شده در مرجع [13] نشان می دهد.

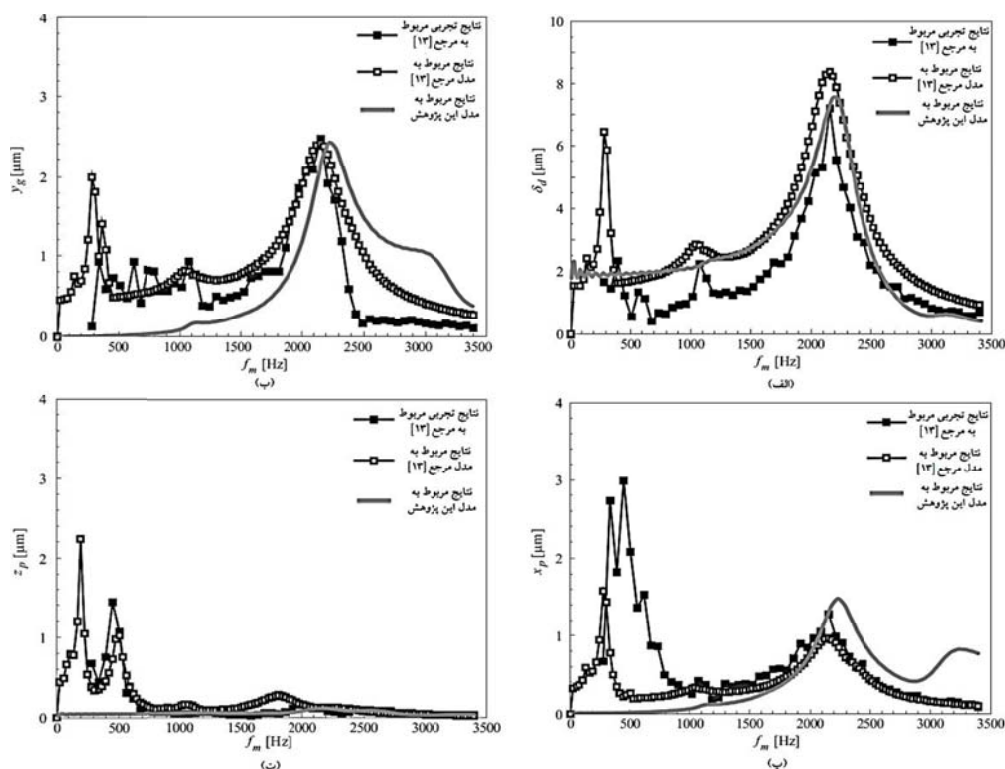
دوماپیچ درگیر، در جدول (۱) بیان شده است. جدول (۲) نیز ضرایب استفاده شده در بسط سری فوریه تحریک ناشی از خطای انتقال را نشان می دهد.

جدول ۱. پارامترهای اساسی مربوط به جفت چرخ دنده دوماپیچ درگیر [13]

| پارامتر                                               | پینون             | چرخ دنده          |
|-------------------------------------------------------|-------------------|-------------------|
| جرم (kg)                                              | ۲/۳۱              | ۳/۰۴              |
| تعداد دندانه ها                                       | ۳۱                | ۳۴                |
| مدول نرمال (mm)                                       | ۳/۹۱۵             |                   |
| زاویه فشار نرمال (deg)                                | ۲۲/۵              |                   |
| فاصله مرکز تا مرکز چرخ دنده ها (mm)                   | ۱۵۰               |                   |
| زاویه ماریپیچ (deg)                                   | ±۳۵               | ±۳۵               |
| قطر پایه (mm)                                         | ۱۴۵/۰۳            | ۱۳۲/۲۳            |
| قطر بزرگ (mm)                                         | ۱۶۶/۵۲            | ۱۵۲/۶۸            |
| سفتی درگیری (N/m)                                     | $۲/۲ \times ۱۰^۸$ |                   |
| سفتی یاتاقان در جهت x و y (N/m)                       | $۶ \times ۱۰^۷$   | $۶ \times ۱۰^۷$   |
| سفتی یاتاقان در جهت z (N/m)                           | $۲/۵ \times ۱۰^۷$ | $۲/۵ \times ۱۰^۷$ |
| سفتی یاتاقان در جهت $\theta_x$ و $\theta_y$ (N.m/rad) | $۶ \times ۱۰^۵$   | $۶ \times ۱۰^۵$   |
| سفتی یاتاقان در جهت $\theta_z$ (N.m/rad)              | ۰                 | ۰                 |

جدول ۲. ضرایب بسط سری فوریه تحریک ناشی از خطای انتقال [13]

| مقدار  | ضرایب                             |
|--------|-----------------------------------|
| ۲/۴۶   | $\hat{e}_{pg1}^{(L)} (\mu m)$     |
| -۴۵/۷۷ | $\sigma_{pg1}^{(L)} (\text{deg})$ |
| ۰/۴۴   | $\hat{e}_{pg2}^{(L)} (\mu m)$     |
| ۸۲/۷   | $\sigma_{pg2}^{(L)} (\text{deg})$ |
| ۲/۴۸   | $\hat{e}_{pg1}^{(R)} (\mu m)$     |
| -۵۸/۵۸ | $\sigma_{pg1}^{(R)} (\text{deg})$ |
| ۰/۳۸   | $\hat{e}_{pg2}^{(R)} (\mu m)$     |
| ۶۴/۱۵  | $\sigma_{pg2}^{(R)} (\text{deg})$ |
| ۰      | $\gamma_{stg} (\text{deg})$       |



شکل ۴ مقایسه نتایج حاصل از حل معادلات دینامیکی با نتایج ارائه شده در مرجع [13] برای یک جفت چرخ دنده دو مارپیچ درگیر در مقابل فرکانس درگیری (الف) خطای انتقال دینامیکی، (ب) جذر میانگین مربعات دامنه ارتعاشات چرخ دنده در جهت  $y$ ، (پ) جذر میانگین مربعات دامنه پینیون ارتعاشات در جهت  $x$ ، (ت) جذر میانگین مربعات دامنه ارتعاشات پینیون در جهت  $z$

### نتایج

در جدول (۲) فرکانس‌های طبیعی یک جفت چرخ دنده دو مارپیچ که مشخصات اساسی آن در بخش قبلی بیان شد، در دو حالت مختلف ارائه شده است.

مقایسه فرکانس‌های طبیعی ارائه شده در جدول (۳) نشان می‌دهد که با در نظر گرفتن اثرات ژيروسکوپي، سیستم دارای مود صلب خواهد شد. زیرا یکی از فرکانس‌های طبیعی سیستم با در نظر گرفتن اثرات ژيروسکوپي صفر می‌شود. به علاوه با در نظر گرفتن اثرات ژيروسکوپي، بیشتر فرکانس‌های طبیعی سیستم کاهش می‌یابد. البته درصد کاهش در فرکانس‌های طبیعی اولیه سیستم بیشتر است و با افزایش مقدار فرکانس طبیعی، این درصد کمتر می‌شود. زیرا فرکانس‌های طبیعی اولیه سیستم از نظر اندازه

مقایسه نتایج ارائه شده در شکل (۴) و نزدیک بودن پاسخ‌های ارائه شده در این شکل، درستی معادلات و روش حل استفاده شده در این تحقیق را نشان می‌دهد. البته در بعضی از نقاط اختلافات محدودی وجود دارد که این امر نیز به دلیل مشخص نبودن برخی از پارامترها در مرجع [13] و فرض کردن آنها در این تحقیق می‌باشد. البته در مرجع [13] سفتی شافت نیز در نظر گرفته شده است. اما به دلیل مشخص نبودن پارامترهای مربوط به شافت در مرجع [13]، در این تحقیق از آن صرف نظر گردید و همین امر باعث شده است که در فرکانس‌های پایین اختلاف بین نتایج بیشتر شود. حال که صحت معادلات و روش حل استفاده شده مورد تأیید قرار گرفت، می‌توان این معادلات را با در نظر گرفتن اثرات ناشی از ممان ژيروسکوپي نیز حل کرد و دینامیک و ارتعاشات آن را مورد بررسی قرار داد.

|    |             |             |        |
|----|-------------|-------------|--------|
| ۱۶ | ۵۶۴۶/۶۷۸۹۹۲ | ۵۹۰۷/۷۶۸۹۲  | %/۶۲   |
| ۱۷ | ۱۵۶۳۹/۱۱۴۷۳ | ۱۵۶۴۴/۳۱۵۴۶ | %/۰۳   |
| ۱۸ | ۱۷۳۲۰/۱۵۹۳۲ | ۱۷۲۳۱/۲۷۵۸۴ | %/۰۰۶  |
| ۱۹ | ۱۹۴۸۱/۸۰۹۳۲ | ۱۹۴۸۶/۷۲۱۷۸ | %/۰۲۵  |
| ۲۰ | ۲۰۲۰۸/۶۶۹۶۸ | ۲۰۲۰۸/۷۰۹۹۷ | %/۰۰۰۲ |
| ۲۱ | ۲۱۳۶۴/۹۵۳۶۲ | ۲۱۳۶۹/۲۸۰۶۱ | %/۰۲   |
| ۲۲ | ۲۱۴۴۳/۴۷۷۴۳ | ۲۱۴۴۵/۴۲۴   | %/۰۰۹  |
| ۲۳ | ۲۳۳۴۰/۱۹۱۰۶ | ۲۳۳۴۱/۸۹۵۲۶ | %/۰۰۷  |
| ۲۴ | ۲۶۳۰۲/۶۴۸۰۸ | ۲۶۳۰۷/۳۷۶۷۶ | %/۰۱۸  |
| ۲۵ | ۵۲۵۷۳/۱۸۹۷۸ | ۵۲۵۷۳/۱۹۲۹۶ | %      |
| ۲۶ | ۵۶۱۱۳/۶۸۵۷۱ | ۵۶۱۱۰/۶۷۳۹۴ | %/۰۰۵  |
| ۲۷ | ۵۶۱۲۴/۶۵۵۹۶ | ۵۶۱۲۷/۸۷۳۷۹ | %/۰۰۶  |
| ۲۸ | ۶۰۲۵۳/۹۹۶۸۶ | ۶۰۲۵۳/۹۹۹۵۶ | %      |
| ۲۹ | ۶۴۲۹۵/۱۰۵۸  | ۶۴۲۹۱/۷۹۱۳۹ | %/۰۰۵  |
| ۳۰ | ۶۴۳۰۹/۳۸۱۶۵ | ۶۴۳۱۲/۹۱۹۲۹ | %/۰۰۵  |
| ۳۱ | ۱۲۵۴۹۸/۳۳۶۴ | ۱۲۵۴۹۷/۵۳۳۴ | %/۰۰۰۶ |
| ۳۲ | ۱۲۵۴۹۹/۳۷۰۹ | ۱۲۵۵۰۰/۱۹۱۱ | %/۰۰۰۷ |
| ۳۳ | ۱۴۴۱۵۷/۵۶۱  | ۱۴۴۱۵۶/۶۱۳۴ | %/۰۰۰۷ |
| ۳۴ | ۱۴۴۱۵۸/۷۸۱۷ | ۱۴۴۱۵۶/۷۴۷۴ | %/۰۰۰۷ |
| ۳۵ | ۳۵۴۹۸۴/۰۴۸۶ | ۳۵۴۹۸۴/۰۴۸۶ | ۰      |
| ۳۶ | ۳۸۹۶۴۵/۲۸۹۶ | ۳۸۹۶۴۵/۲۸۹۶ | ۰      |

بزرگی بسیار کوچک‌تر از فرکانس‌های پایانی سیستم می‌باشند. در ضمن در بعضی از فرکانس‌های خاص، با در نظر گرفتن اثرات ژيروسکوپی افزایش بسیار اندکی در فرکانس طبیعی سیستم مشاهده می‌شود.

شکل‌های (۱۰-۵) مقادیر جذر میانگین مربعات دامنه ارتعاشات در جهات مختلف را برای یک جفت چرخ‌دنده دوماریچ نشان می‌دهد. با مشاهده این نمودارها نتایج زیر استخراج می‌گردد:

- مقادیر ماکزیمم جذر میانگین مربعات دامنه ارتعاشات در جهات مختلف، متناسب با فرکانس‌های طبیعی سیستم یا ضربی از آنها می‌باشند که توسط هارمونیک لام نیرو، تحریک می‌گردند.

جدول ۳ مقایسه فرکانس‌های طبیعی سیستم در حالت‌های مختلف

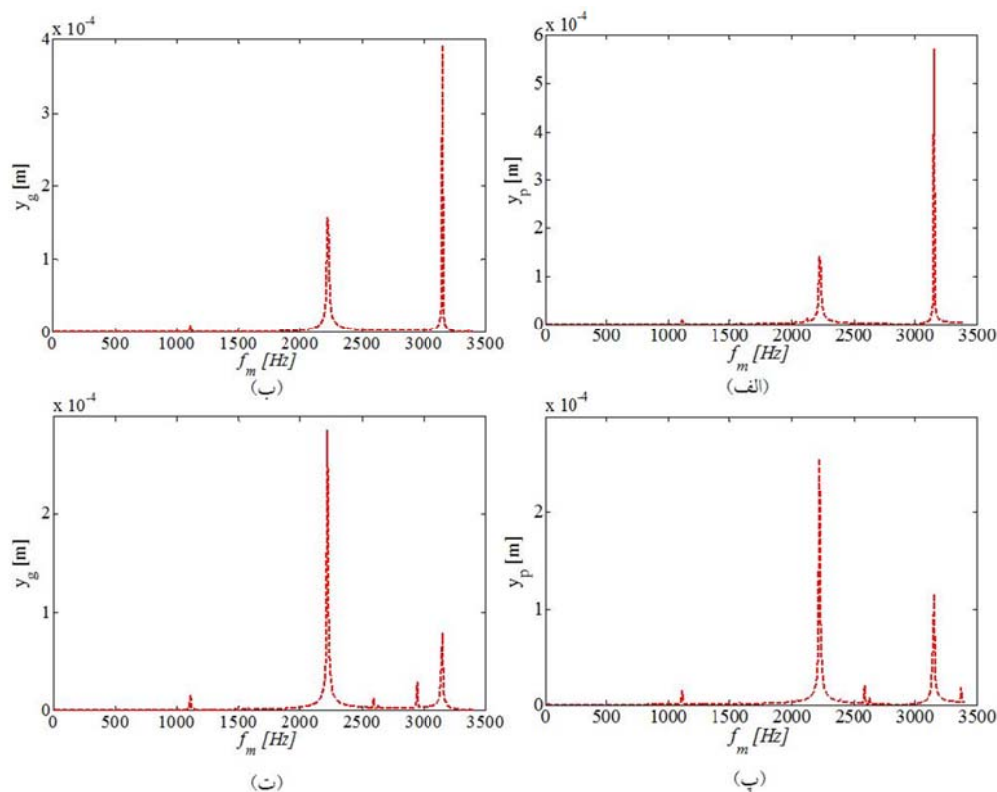
| شماره فرکانس طبیعی | فرکانس طبیعی (Hz)                              |                                              | درصد اختلاف دو حالت |
|--------------------|------------------------------------------------|----------------------------------------------|---------------------|
|                    | بدون در نظر گرفتن اثرات ناشی از ممان ژيروسکوپی | با در نظر گرفتن اثرات ناشی از ممان ژيروسکوپی |                     |
| ۱                  | ۰/۱۴۵۵۳۱۷۳                                     | ۰                                            | -                   |
| ۲                  | ۲۰۱۱/۸۵۷۳۵۲۸                                   | ۲۰۱۱/۷۴۰۷۴                                   | %/۰۰۶               |
| ۳                  | ۲۲۲۴/۷۸۳۹۰۹                                    | ۲۲۲۲/۶۱۷۲۸۷                                  | %/۰۱                |
| ۴                  | ۲۲۷۳/۸۵۴۴۸۶                                    | ۲۲۷۳/۷۸۸۷۴۳                                  | %/۰۰۳               |
| ۵                  | ۲۶۳۳/۵۳۰۵۳                                     | ۲۶۳۰/۱۳۶۰۳۷                                  | %/۰۱۳               |
| ۶                  | ۲۹۴۱/۸۹۴۲۹۸                                    | ۲۹۳۸/۷۲۳۱۵۸                                  | %/۰۱۱               |
| ۷                  | ۳۱۴۹/۳۰۵۶۳۶                                    | ۳۱۴۶/۶۰۹۴۱۸                                  | %/۰۰۹               |
| ۸                  | ۳۳۵۸/۸۱۴۲۰۸                                    | ۳۱۶۳/۸۰۹۰۳۸                                  | %/۵/۸               |
| ۹                  | ۳۳۷۰/۶۱۳۲۰۶                                    | ۳۳۶۹/۲۵۶۴۰۵                                  | %/۰۰۴               |
| ۱۰                 | ۳۵۸۳/۳۲۹۸۶۵                                    | ۳۶۸۹/۲۴۲۶۵                                   | %/۲/۹۶              |
| ۱۱                 | ۴۰۵۸/۷۹۱۳۹۹                                    | ۳۹۵۵/۴۰۲۶۳۹                                  | %/۲/۵               |
| ۱۲                 | ۴۲۴۳/۷۰۴۶۵۲                                    | ۴۰۸۵/۹۵۷۹۹۴                                  | %/۳/۷               |
| ۱۳                 | ۴۲۹۹/۸۶۸۲۶                                     | ۴۵۵۲/۴۱۶۲۰۱                                  | %/۵/۹               |
| ۱۴                 | ۴۶۸۳/۰۸۸۴۷۱                                    | ۴۷۷۵/۰۶۹۲۸۱                                  | %/۱/۹۶              |
| ۱۵                 | ۵۳۰۴/۹۸۷۷۸۱                                    | ۵۱۷۹/۹۲۹۴۳۵                                  | %/۲/۳۶              |

- در نظر گرفتن اثرات ژيروسکوپی در بعضی از جهات تغییرات قابل توجهی را در پاسخ دینامیکی سیستم و همچنین در تعداد قله‌های ارتعاشات در محدوده فرکانس درگیری ایجاد می‌کند. زیرا در حالتی که اثرات ژيروسکوپی در سیستم در نظر گرفته می‌شود، ماتریس ژيروسکوپی که یک ماتریس وابسته به سرعت می‌باشد به سیستم افزوده می‌شود. این در حالی است که اگر اثرات ژيروسکوپی نادیده گرفته شوند، تمامی ماتریس‌های مربوط به معادله کلی سیستم مستقل از سرعت و ثابت می‌باشند.
- در نظر گرفتن اثرات ژيروسکوپی میزان دامنه ارتعاشات در پاسخ دینامیکی را تغییر می‌دهد، به گونه‌ای که در سه جهت  $x$ ،  $y$  و  $\theta_x$  در نظر

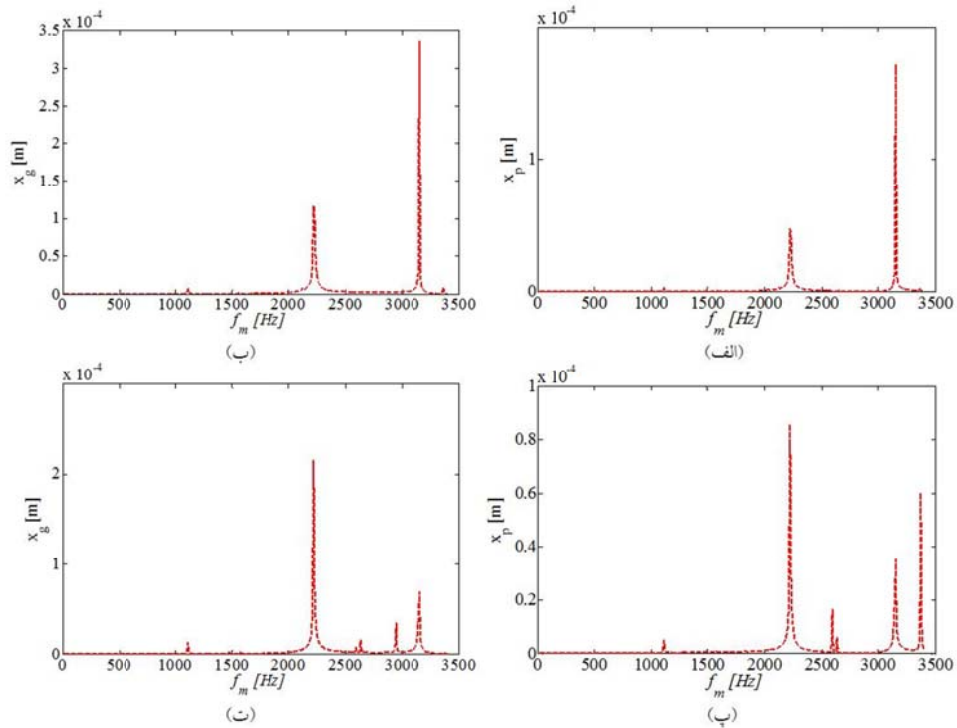
میراکننده عمل می‌کند؛ اما درجهت‌هایی که در نظر گرفتن اثرات ژيروسکوپی باعث افزایش در دامنه پاسخ دینامیکی شده است، این ماتریس شبیه یک تحریک عمل کرده است.

نتایج بالا نشان می‌دهد که اثرات ژيروسکوپی در سرعت‌های بالا بر روی دینامیک یک جفت چرخ‌دنده دومارپیچ تأثیر قابل‌ملاحظه‌ای داشته است و بایستی حتماً در سیستم‌های چرخ‌دنده‌ای سرعت‌بالا در نظر گرفته شوند.

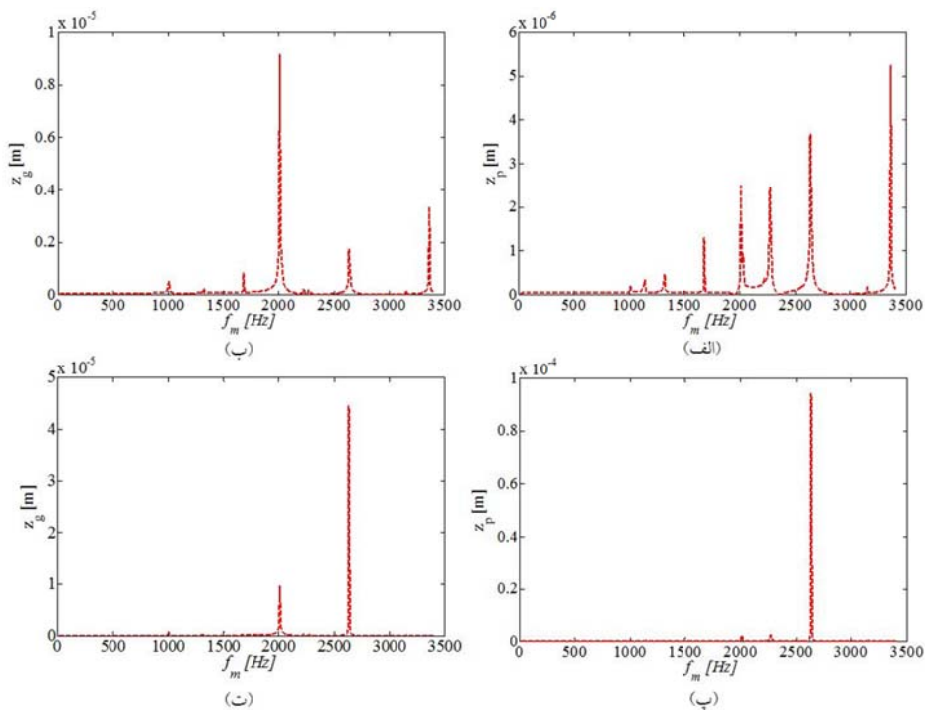
گرفتن اثرات ژيروسکوپی باعث کاهش دامنه پاسخ دینامیکی سیستم می‌شود. این در حالی است که در جهات دیگر در نظر گرفتن اثرات ژيروسکوپی دامنه ارتعاشات را افزایش می‌دهد. از آنجایی که ماتریس ژيروسکوپی یک ماتریس پادمتقارن می‌باشد، می‌توان این موضوع را این‌گونه توجیه کرد که درجهت‌هایی که با در نظر گرفتن اثرات ژيروسکوپی کاهش در دامنه پاسخ دینامیکی مشاهده می‌شود، این ماتریس شبیه یک



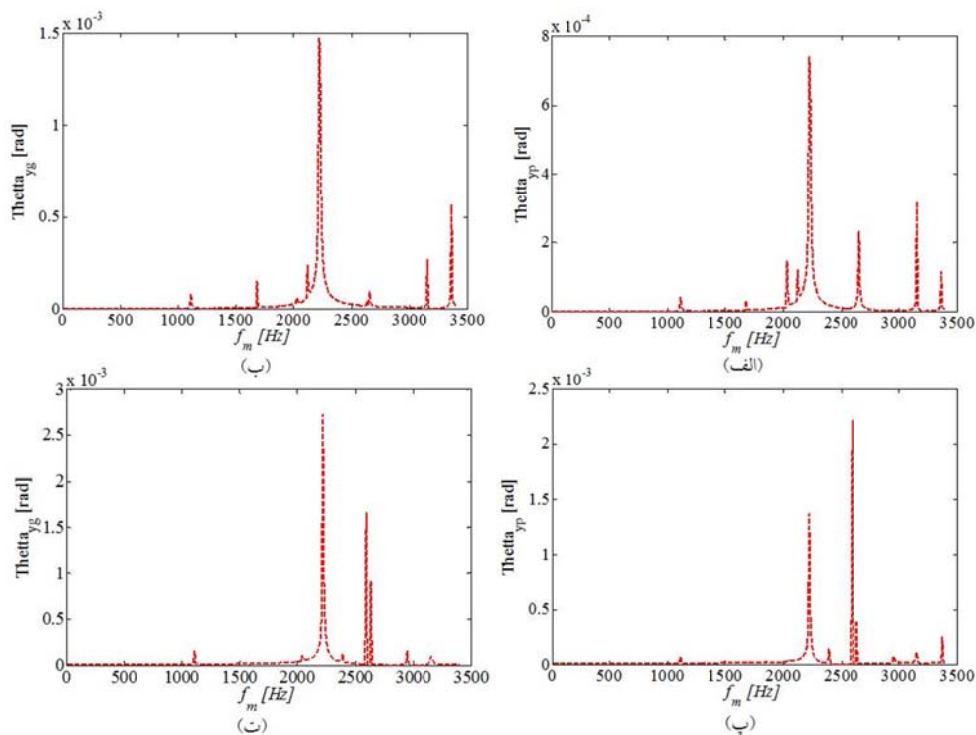
شکل ۵ جذر میانگین مربعات دامنه ارتعاشات درجهت  $y$  در مقابل فرکانس درگیری برای جفت چرخ‌دنده دومارپیچ پینیون و چرخ‌دنده (الف و ب) بدون در نظر گرفتن اثرات ژيروسکوپی؛ (پ و ت) با در نظر گرفتن اثرات ناشی از ممان ژيروسکوپی



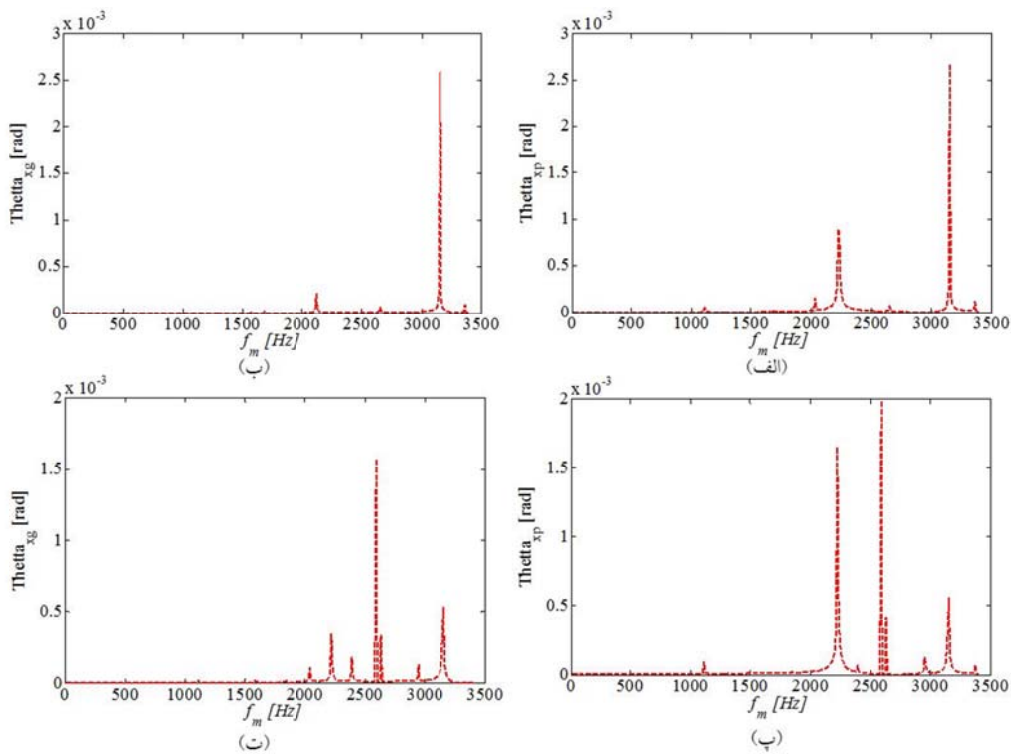
شکل ۶ جذر میانگین مربعات دامنه ارتعاشات در جهت X در مقابل فرکانس درگیری برای جفت چرخ‌دنده دوماریچ پینیون و چرخ‌دنده (الف و ب) بدون در نظر گرفتن اثرات ژيروسکوپي (پ و ت) با در نظر گرفتن اثرات ناشی از ممان ژيروسکوپي



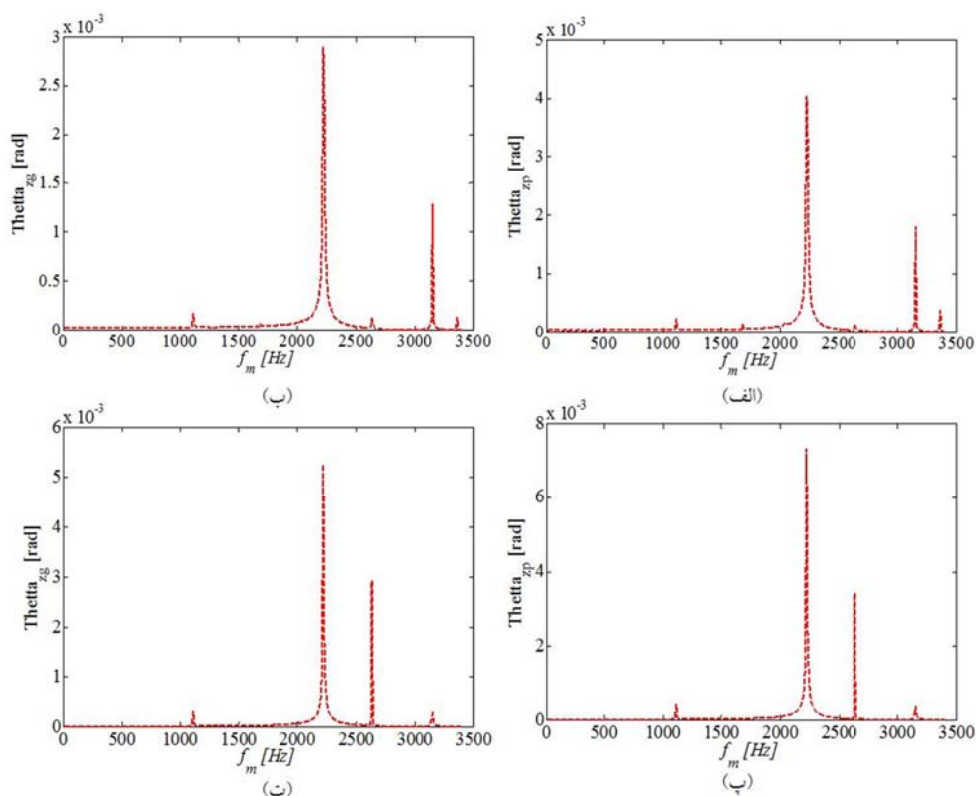
شکل ۷ جذر میانگین مربعات دامنه ارتعاشات در جهت Z در مقابل فرکانس درگیری برای جفت چرخ‌دنده دوماریچ پینیون و چرخ‌دنده (الف و ب) بدون در نظر گرفتن اثرات ژيروسکوپي، (پ و ت) با در نظر گرفتن اثرات ناشی از ممان ژيروسکوپي



شکل ۸ جذر میانگین مربعات دامنه ارتعاشات درجهت  $\theta_y$  در مقابل فرکانس درگیری برای جفت چرخ دنده دوماریچ پینیون و چرخ دنده (الف و ب) بدون در نظر گرفتن اثرات ژيروسکوپی (پ و ت) با در نظر گرفتن اثرات ناشی از ممان ژيروسکوپی



شکل ۹ جذر میانگین مربعات دامنه ارتعاشات درجهت  $\theta_x$  در مقابل فرکانس درگیری برای جفت چرخ دنده دوماریچ پینیون و چرخ دنده (الف و ب) بدون در نظر گرفتن اثرات ژيروسکوپی، (پ و ت) با در نظر گرفتن اثرات ناشی از ممان ژيروسکوپی



شکل ۱۰ جذر میانگین مربعات ارتعاشات در جهت  $\theta_z$  در مقابل فرکانس درگیری برای جفت چرخ‌دنده دومارپیچ پینیون و چرخ‌دنده (الف و ب) بدون در نظر گرفتن اثرات ژيروسکوپی (ب و ت) با در نظر گرفتن اثرات ناشی از ممان ژيروسکوپی

### نتیجه‌گیری

اندازه بزرگی بسیار کوچک‌تر از فرکانس‌های پایانی سیستم می‌باشند. در ضمن، در حالتی که اثرات ژيروسکوپی در نظر گرفته می‌شود، پاسخ دینامیکی سیستم به سرعت چرخ‌دنده‌های درگیر حساس می‌باشد. زیرا در این حالت ماتریس ژيروسکوپی وارد معادلات حرکت می‌شود و با تغییر سرعت چرخ‌دنده‌های درگیر تغییر خواهد کرد؛ اما در حالتی که از اثرات ژيروسکوپی صرف نظر می‌شود، با تغییر سرعت چرخ‌دنده‌های درگیر هیچ تغییری در ماتریس‌ها مشاهده نخواهد شد و ماتریس‌ها مستقل از سرعت چرخ‌دنده‌های درگیر می‌باشند.

در این تحقیق با ارائه یک مدل خطی مستقل از زمان در فضای سه‌بعدی به بررسی اثرات ناشی از ممان ژيروسکوپی بر روی دینامیک و ارتعاشات یک جفت چرخ‌دنده دومارپیچ پرداخته شده است. نتایج این تحقیق نشان می‌دهد که با در نظر گرفتن اثرات ژيروسکوپی در یک جفت چرخ‌دنده دومارپیچ، بیشتر فرکانس‌های طبیعی سیستم کاهش می‌یابد. البته درصد کاهش در فرکانس‌های طبیعی اولیه سیستم بیشتر است و با افزایش مقدار فرکانس طبیعی، این درصد کمتر می‌شود. زیرا فرکانس‌های طبیعی اولیه سیستم از نظر



## مراجع

1. Kahraman, A. and Singh, R., "Non-linear dynamics of a spur gear pair", *Journal of sound and Vibration*, Vol. 142, No. 1, pp. 49-75, (1990):
2. Kahraman, A. and Blankenship, G.W., "Interactions between commensurate parametric and forcing excitations in a system with clearance", *Journal of Sound and Vibration*, Vol. 194, No. 3, pp. 317-336, (1996).
3. Blankenship, G.W. and Kahraman, A., "Steady state forced response of a mechanical oscillator with combined parametric excitation and clearance type non-linearity", *Journal of Sound and Vibration*, Vol. 185, No.5, pp. 743-765, (1995).
4. Kahraman, A. and Blankenship, G.W., "Experiments on nonlinear dynamic behavior of an oscillator with clearance and periodically time-varying parameters", *Journal of Applied Mechanics*, Vol. 64, No.1, pp. 217-226, (1997).
5. Kahraman, A. and Blankenship., G.W., "Effect of involute tip relief on dynamic response of spur gear pairs", *Journal of Mechanical Design*, Vol. 121, No. 2, pp. 313-315, (1999).
6. Kahraman, A. and Blankenship, G.W., "Effect of involute contact ratio on spur gear dynamics", *Journal of Mechanical Design*, Vol. 121, No. 1, pp. 112-118, (1999).
7. Neriya, S.V., Bhat, R.B. and Sankar., T.S., "On the dynamic response of a helical geared system subjected to a static transmission error in the form of deterministic and filtered white noise inputs", *Journal of Vibration, Acoustics, Stress, and Reliability in Design*, Vol. 110, No. 4, pp. 501-506, (1988).
8. Kahraman, A., "Effect of axial vibrations on the dynamics of a helical gear pair", *Journal of Vibration and Acoustics*, Vol. 115, No. 1, pp. 33-39, (1993).
9. Kahraman, A., "Dynamic analysis of a multi-mesh helical gear train", *Journal of Mechanical Design*, Vol. 116, No. 3, pp. 706-712, (1994).
10. Kahraman, A. "Planetary gear train dynamics", *Journal of Mechanical design* ,Vol. 116, No. 3, pp. 713-720, (1994).
11. Umezawa, K., Houjoh, H., Matsumura, S., Wang, S. and Ohshima, S., "'Experimental Investigation on Modal Behavior of Helical Gear Units with Various Ratio", *Proc. 7th ASME Int. Power Trans. and Gearing Conference*, San Diego, pp. 509-518, 6- 9 October, (1996).
12. Kubur, M., Kahraman, A., Zini, D.M. and Kienzle, K., "Dynamic analysis of a multi-shaft helical gear transmission by finite elements: model and experiment", *Journal of vibration and acoustics*, Vol. 126, No. 3, pp. 398-406, (2004).
13. Kang, M.R. and Kahraman, A., "An experimental and theoretical study of the dynamic behavior of double-helical gear sets", *Journal of Sound and Vibration*, Vol. 350, pp. 11-29, (2015).
14. Prashant, S. and Kahraman, A. "A dynamic model of a double-helical planetary gear set", *Mechanism and Machine Theory*, Vol. 70, pp. 157-174, (2013).
15. Thomas, J., "A procedure for predicting the load distribution and transmission error characteristics of double helical gears", MSc Thesis, The Ohio State University, (1991).
16. Clapper, M. and Houser, D.R., "Prediction of fully reversed stresses at the base of the root in spur and double helical gears in a split torque helicopter transmission", *Proceedings of American Helicopter Society Rotor Wing Specialists Meeting*, Williamsburg, VA, pp. 26-28, (1993).
17. Zhang, T., "Noise optimization of a double helical parallel shaft gearbox", *Proceedings of the Int. Gearing Conf.*, University of Newcastle upon Tyne, pp. 93-98, (1994).

18. Wang, Ch. and Hai-tao, J., "Investigation of a design modification for double helical gears reducing vibration and noise", *Journal of Marine Science and Application*, Vol. 9, No. 1, pp. 81-86, (2010).
19. Wang, S., Zhang C. and Wang, F., "The analysis of dynamic load coefficients of double- helical planetary gear sets", *International gear conference*, France, pp. 888- 895, 26- 28 August, (2014).
20. Sheng, Zh., "Modal Analysis of Double-Helical Planetary Gears With Numerical and Analytical Approach", *Journal of Dynamic Systems, Measurement, and Control*, Vol. 137, No. 4, pp. 1-17, (2015).
21. Seager, D.L. "Conditions for the Neutralization of Excitation by the Teeth in Epicyclic Gearing", *Journal of Mechanical Engineering Science*, Vol. 17, No. 5, pp. 293-299, (1975).
22. Kubur, M., "Dynamic analysis of a multi-shaft helical gear transmission by finite elements: model and experiment", *Journal of vibration and acoustics*, Vol. 126, No. 3, pp. 398-406, (2004).
23. Kang, M.,R., and Kahraman, A., "Measurement of vibratory motions of gears supported by compliant shafts", *Mechanical Systems and Signal Processing*, Vol. 29, pp. 391-403, (2012).
24. Ajmi, M. and Velez, P., "A model for simulating the quasi-static and dynamic behaviour of solid wide-faced spur and helical gears", *Mechanism and Machine Theory*, Vol. 40, No. 2, pp. 173-190, (2005).
25. LDP Gear Load Distribution Program, Gear and Power Transmission Research Laboratory, the Ohio State University, USA, (2011).
26. Meirovitch, L., "*Fundamentals of vibrations*", International Edition, McGraw-Hill, pp. 280-365, (2001).